

การพัฒนาตัวคุณอัตตราการปล่อยฝุ่นละอองจากโรงไหมหิน



นาย กมล ธนะนพวรรณ

สถาบันวิทยบริการ

วิทยานิพนธ์นี้เป็นส่วนหนึ่งของการศึกษาตามหลักสูตรปริญญาวิทยาศาสตรมหาบัณฑิต
สาขาวิชาวิศวกรรมสิ่งแวดล้อม ภาควิชาวิศวกรรมสิ่งแวดล้อม

บัณฑิตวิทยาลัย จุฬาลงกรณ์มหาวิทยาลัย

ปีการศึกษา 2540

ISBN 974-638-356-6

ลิขสิทธิ์ของบัณฑิตวิทยาลัย จุฬาลงกรณ์มหาวิทยาลัย

I17928990

DEVELOPMENT OF DUST EMISSION FACTORS FOR ROCK CRUSHING PLANT



Mr. Kamol Thananopavarn

**สถาบันวิทยบริการ
จุฬาลงกรณ์มหาวิทยาลัย**

**A Thesis Submitted in Partial Fulfillment of the Requirements
For the Degree of Master of Engineering in Environmental Engineering**

Department of Environmental Engineering

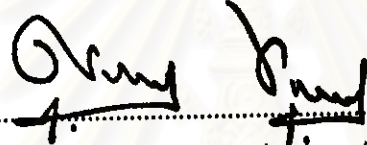
Graduate School

Academic Year 1997

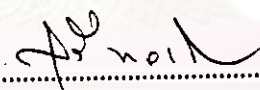
ISBN 974-638-356-6

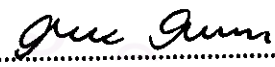
หัวข้อวิทยานิพนธ์ การพัฒนาตัวคุณอัคราการปล่อยฝุ่นละอองจากโรงไม้หิน
โดย นาย กมล ชนะนพวรรณ
ภาควิชา วิศวกรรมสิ่งแวดล้อม
อาจารย์ที่ปรึกษา รองศาสตราจารย์ วงศ์พันธ์ ลิ้มปเสนีย์

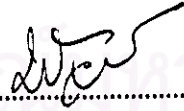
บัณฑิตวิทยาลัย จุฬาลงกรณ์มหาวิทยาลัย อนุมัติให้บัณฑิตวิทยาลัยฉบับนี้เป็นส่วนหนึ่ง
ของการศึกษาตามหลักสูตรปริญญาวิทยาศาสตรบัณฑิต


..... คณบดีบัณฑิตวิทยาลัย
(ศาสตราจารย์ นายแพทย์ ศุภวัฒน์ ชุติววงศ์)

คณะกรรมการสอบวิทยานิพนธ์


..... ประธานกรรมการ
(รองศาสตราจารย์ สุรี ขาวเชียร)


..... อาจารย์ที่ปรึกษา
(รองศาสตราจารย์ วงศ์พันธ์ ลิ้มปเสนีย์)


..... กรรมการ
(อาจารย์ นุชอง โล่ห์วงศ์วัฒน์)


..... กรรมการ
(อาจารย์ ดร. ชวลิต รัตนธรรมสกุล)

กมล ชนนพวรรณ : การพัฒนาตัวคูณอัตราการปล่อยฝุ่นละอองจากโรงโม่หิน (DEVELOPMENT OF DUST EMISSION FACTORS FOR ROCK CRUSHING PLANT) อ. ที่ปรึกษา: รศ. วงศ์พันธ์ ลิ้มเสนีย์, 199 หน้า, ISBN 974-638-356-6

การศึกษานี้มีวัตถุประสงค์เพื่อพัฒนาอัตราการปล่อยฝุ่นละอองรวมและตัวคูณอัตราการปล่อยฝุ่นละอองรวมจากแหล่งปล่อยต่างๆ ภายในโรงโม่หินโดยประยุกต์ใช้เทคนิคความทึบแสง และแปรผลค่าความทึบแสงที่ได้เป็นความเข้มข้นของฝุ่นละอองรวม เพื่อศึกษาประสิทธิภาพของระบบควบคุมฝุ่นแบบสเปรย์น้ำ และแบบดูดและรวบรวมฝุ่นแบบดงกรองในการควบคุมฝุ่นจากโรงโม่หิน และรวมทั้งศึกษาการกระจายขนาดของฝุ่นที่ปล่อยออกจากเครื่องจักรต่างๆ ภายในโรงโม่หิน

ผลการศึกษาโดยใช้เครื่อง smoke opacity meter และ เครื่องเก็บตัวอย่างชนิดปริมาตรสูง พบว่าความทึบแสงและความเข้มข้นของฝุ่นละอองรวมมีความสัมพันธ์กันดังสมการ คือ

$$y = 279.57x + 299.55, R^2 = 0.9153$$

โดยที่ y = ความเข้มข้นของฝุ่นละอองรวม (มก./ลบ.ม.) และ x = ความทึบแสง (%) โดยสมการนี้ใช้ได้ในช่วงที่ความทึบแสงมีค่า 0.1 - 19.1 %

โรงโม่โสกอุตสาหกรรม ซึ่งมีกำลังการผลิตประมาณ 400 - 450 ตัน/ชม. เมื่อไม่มีการควบคุมฝุ่น มีอัตราการปล่อยฝุ่นละอองรวมจากทั้งโรงโม่เท่ากับ 67496 มก./วินาที หรือ 4 กก./นาที และตัวคูณอัตราการปล่อยฝุ่นละอองรวมจากทั้งโรงโม่เท่ากับ 0.57 กก./ตันของหินที่ผลิต โดยมีกองหิน ภูเขาไอออนสาอาพานใต้และแกรงชั้นที่สอง และเครื่องโม่ตะเข็บเป็นแหล่งปล่อยฝุ่นสำคัญ เมื่อมีการควบคุมฝุ่นด้วยสเปรย์น้ำ อัตราการปล่อยฝุ่นละอองรวมทั้งโรงโม่เท่ากับ 0.55 กก./นาที และตัวคูณอัตราการปล่อยฝุ่นละอองทั้งโรงโม่รวมเท่ากับ 0.08 กก./ตัน โดยประเมินประสิทธิภาพในการควบคุมฝุ่นได้เท่ากับ 86 % โรงโม่ขุมเงินขุมทองซึ่งมีการสร้างอาคารปิดครอบเครื่องจักรและมีกำลังการผลิตประมาณ 350 - 400 ตัน/ชม. เมื่อไม่มีการสเปรย์น้ำ ตัวคูณอัตราการปล่อยฝุ่นละอองรวมทั้งโรงโม่มีค่าเท่ากับ 0.43 กก./ตัน และเมื่อมีการสเปรย์น้ำมีค่าเท่ากับ 0.06 กก./ตัน โดยประเมินประสิทธิภาพของระบบสเปรย์น้ำในการควบคุมได้เท่ากับ 87 %

สามารถสรุปได้ว่า โรงโม่ทั่วไปที่ไม่มีการสร้างอาคารปิดคลุมเครื่องจักร เมื่อไม่มีการควบคุมฝุ่น จะมีการปล่อยฝุ่นละอองรวมออกจากกระบวนการผลิตประมาณ 565 กรัม ต่อหินที่ผลิตได้ 1 ตัน และ โรงโม่ที่ควบคุมฝุ่นได้อย่างมีประสิทธิภาพไม่ควรมีการปล่อยฝุ่นละอองออกจากกระบวนการผลิตมากกว่า 80 กรัมต่อตันของหินที่ผลิตได้ และโรงโม่ที่มีการสร้างอาคารปิดคลุมเครื่องจักร เมื่อไม่มีการควบคุมฝุ่น จะมีปล่อยฝุ่นละอองรวมออกจากกระบวนการผลิตประมาณ 429 กรัมต่อหินที่ผลิตได้ 1 ตัน และเมื่อมีการสเปรย์น้ำ ไม่ควรจะมีปล่อยฝุ่นละอองออกมามากกว่า 55 กรัมต่อตันของหินที่ผลิตได้

ระบบดูดและรวบรวมฝุ่นแบบดงกรองมีประสิทธิภาพในการควบคุมฝุ่นจากโรงโม่หิน ไม่สูงนัก มลพิษที่เหลือนอยู่แม้จะต่ำกว่ามาตรฐาน แต่ก็อยู่ในเกณฑ์ที่สูง สาเหตุเนื่องมาจากระบบดูดและรวบรวมฝุ่นไม่สามารถรวบรวมฝุ่นที่เกิดจากเครื่องจักรที่มีการเคลื่อนที่และสันตะทอนตลอดเวลาได้อย่างมีประสิทธิภาพ ในขณะที่ระบบสเปรย์น้ำสามารถควบคุมฝุ่นจากโรงโม่หินได้อย่างมีประสิทธิภาพ โดยมีประสิทธิภาพกว่า 88 % และมลพิษที่เหลือนอยู่ในระดับต่ำกว่ามาตรฐานมาก แต่การให้ความชื้นกับหินโดยระบบสเปรย์น้ำก่อให้เกิดปัญหาเกี่ยวกับกระบวนการผลิตและเครื่องจักร และผลิตภัณฑ์มีคุณภาพต่ำลง จึงต้องมีการควบคุมความชื้นให้ต่ำ หรืออาจใช้สเปรย์น้ำร่วมกับระบบดูดและรวบรวมฝุ่นแบบดงกรองหรือสร้างอาคารปิดคลุมเครื่องจักร

การศึกษาระยะยาวของฝุ่นที่ปล่อยจากเครื่องจักรต่างๆ ภายในโรงโม่พบว่าเครื่องโม่จะปล่อยฝุ่นละอองขนาดเล็กกว่า 11 ไมครอนในสัดส่วนที่สูง คือ ประมาณ 40 % ส่วนตะแกรงจะปล่อยฝุ่นละอองขนาดเล็กกว่า 11 ไมครอนในสัดส่วนที่ต่ำกว่า คือ ประมาณ 10 - 15 %

ภาควิชา วิศวกรรมสิ่งแวดล้อม
สาขาวิชา วิศวกรรมสิ่งแวดล้อม
ปีการศึกษา 2540

ลายมือชื่อนิสิต กมล ชนนพวรรณ
ลายมือชื่ออาจารย์ที่ปรึกษา อ. วงศ์พันธ์
ลายมือชื่ออาจารย์ที่ปรึกษาร่วม

C717877 : MAJOR SANITARY ENGINEERING

KEY WORD: DUST / ROCK CRUSHING PLANT / DUST EMISSION FACTOR / OPACITY

KAMOL THANANOPAVARN : DEVELOPMENT OF DUST EMISSION FACTORS FOR ROCK CRUSHING PLANT. THESIS ADVISOR : ASSO. PROF. WONGPHUN LIMPASENI , 199 pp , ISBN 974-638-356-6

This research was intended to develop TSP emission factor and TSP emission rate from emission sources in rock crushing plant by techniques of opacity investigation and interpreting opacity as TSP concentration. To investigate the efficiency of dust control system in water spray system in dust evacuating and collecting system in bag filter system. And investigate the size distribution of dust that emitted from machines in rock crushing plant.

The result of the test , using the smoke opacity meter and high volume sampler, showed that TSP concentration related to opacity which show in equation below

$$Y = 279.57 X + 299.55 , R^2 = 0.9153$$

Which Y = TSP concentration (mg/m³) , X = opacity (%) ; under the opacity range of 0.1-19.1 %

Asoke Rock crushing production capacity is 400-450 ton/hr. Uncontrolled , overall TSP emission rate is 67,496 mg/s or 4 kg/min and overall TSP emission factor is 0.57 kg per unit ton of product. Storage pile , transfer point under secondary screening , secondary screening and fine crusher are main sources of dust emitted. Water spray controlled , overall TSP emission rate is 0.55 kg/min and overall TSP emission factor is 0.08 kg/ton. The efficiency of dust control system that is 86 % . For Khum Ngerm Khum Thong Crushing Plants is enclosed by building production capacity is 350 - 400 ton/hr. Uncontrolled , overall TSP emission factor is 0.43 kg/ton . With water spray control , overall TSP emission rate is 0.06 kg/ton.

In general uncontrolled process produce TSP 565 gram. per rock 1 ton. rock produced. The effective dust controlled crushing plant shouldn't produce dust more than 80 gram/ton of product. Building enclosure without water spray will produce dust 429 g. per rock 1 ton. And with Water spray system shouldn't emit dust more than 55 g per unit ton of product.

Dust and collecting system by bag filter wasn't so effective. Although the remain pollution is lower than the ambient standard but still high. Because this system can't be effective controlled under constant moving and vibrating machines. Water spray system is a highly effective dust control system. The efficiency is more than 88% and the remain pollution value is much lower than the standard. However , to moisture the rock in this system will cause some problems to the process, harm the machines and the finish products will be lower quality. So we must control moisture. Or use water spray together with filter bag or enclosure all the machines.

The size distribution of dust emitted from the machines study shows that dust from the crusher having size less than 11 micron is 40% which is higher than from the screening at 10-15%.

ภาควิชา..... วิศวกรรมสิ่งแวดล้อม
สาขาวิชา..... วิศวกรรมสิ่งแวดล้อม
ปีการศึกษา..... 2540

ลายมือชื่อนิสิต..... ภูมิ อนุชาพน
ลายมือชื่ออาจารย์ที่ปรึกษา..... อ. อ. อ. อ.
ลายมือชื่ออาจารย์ที่ปรึกษาร่วม.....

กิตติกรรมประกาศ



การศึกษาตามวิทยานิพนธ์นี้สามารถสำเร็จได้ต้องขอกราบขอบพระคุณบิดามารดาข้าพเจ้า
ที่ให้ความรัก ความเอาใจใส่ สนับสนุนปัจจัยมากมาย และได้ให้โอกาสเสมอมา

ขอขอบพระคุณรองศาสตราจารย์ วงศ์พันธ์ ลิ้มปเสนีย์ อาจารย์ที่ปรึกษาเป็นอย่างยิ่งที่ได้
สอนและชี้แนะความรู้และความเข้าใจต่างๆ มากมาย ขอขอบพระคุณท่านกรรมการสอบวิทยา
นิพนธ์ทุกท่านที่ได้ชี้แนะสิ่งต่างๆ มากมายเช่นกัน

ขอขอบคุณกรมควบคุมมลพิษและกรมทรัพยากรธรณีที่ได้ให้ความอนุเคราะห์เครื่องมือ
และอุปกรณ์ต่างๆ ในการศึกษา และเงินทุนในการศึกษาวิทยานิพนธ์นี้

ขอขอบคุณโรงไม้โศกอุตสาหกรรม โรงไม้ชุมชนทอง โรงงานปูนซิเมนต์ไทย แก่งคอย
โรงไม้หินไทยสระบุรี และโรงไม้ศิลาเลิศจิด ที่ได้ให้ความอนุเคราะห์และความร่วมมือในการศึกษา
เป็นอย่างดี โดยเฉพาะอย่างยิ่งคุณ กานต์ เอื้องกิตติกุล ที่ได้ให้คำแนะนำที่ดีมากมายและช่วยเหลือ
ในเรื่องที่พัก

ขอขอบคุณคุณเกษม พรหมเนตร์ที่ให้ความช่วยเหลืออย่างมากในการตรวจวัดและการเก็บ
ตัวอย่างในการศึกษาตามวิทยานิพนธ์นี้ และขอบคุณคุณสุรสิทธิ์ กรวยกิตานนท์ ที่ช่วยเหลือในการ
ตรวจวัดเช่นกัน

ขอขอบคุณเพื่อนๆ รุ่นพี่ และรุ่นน้องที่คอยให้ความรักและกำลังใจเสมอในระหว่างที่ศึกษา
ตามขอบเขตของวิทยานิพนธ์นี้

เหนืออื่นใดต้องขอขอบคุณแรงบันดาลใจที่มาจากหัวใจแห่งความรักที่แท้จริงที่ปรารถนาที่
จะให้ตนเองสำเร็จการศึกษา เพื่อเป็นพื้นฐานและเป็นส่วนหนึ่งในการช่วยสร้างสรรค์และให้สิ่งที่ดี
ต่อผู้ทุกขุ์ทรมานอย่างน่าสังเวชหรือผู้ท้อแท้สับสนในจิตใจหรือร่างกายในสังคมนี้ ต่อโลกที่ยังคง
เต็มไปด้วยมลภาวะ ความเสื่อมศีลธรรมและความขัดแย้งต่อสู้ ต่อลูกหลานของเรา และต่อเอกภพที่
เรารัก

สารบัญ

หน้า

บทคัดย่อภาษาไทย	ง
บทคัดย่อภาษาอังกฤษ	จ
กิตติกรรมประกาศ	ฉ
สารบัญ	ช
สารบัญตาราง	ญ
สารบัญรูป	ฐ
บทที่	
1 บทนำ	1
2 วัตถุประสงค์และขอบเขตการวิจัย	3
3 ทบทวนเอกสาร	5
3.1 ศัพท์และความหมาย	5
3.2 อันตรายของฝุ่น	6
3.2.1 อันตรายของฝุ่นต่อสภาพแวดล้อม การทำงาน และการดำเนินชีวิต	7
3.2.2 อันตรายของฝุ่นต่อสุขภาพ	7
3.2.3 ผลกระทบอันเนื่องมาจากขนาดของฝุ่น	9
3.3 โรงไม้หินและกระบวนการผลิต	10
3.3.1 กระบวนการผลิต	10
3.4 มาตรฐานความเข้มข้นฝุ่นละออง	19
3.5 การปล่อยฝุ่นละอองจากโรงไม้หิน	21
3.5.1 จุดที่เป็นแหล่งปล่อยฝุ่นในกระบวนการไม้ บด และย่อยหิน	22
3.5.2 การปล่อยฝุ่นละอองและผลกระทบของฝุ่นละอองจากเหมือง	29
3.6 การควบคุมฝุ่นละออง	29
3.7 การกำจัดฝุ่นจากโรงไม้หิน	30
3.7.1 ระบบกำจัดฝุ่นแบบเปียก	35
3.7.2 การออกแบบระบบกำจัดฝุ่นแบบเปียก	38

สารบัญ (ต่อ)

	หน้า
3.8 การกระจายขนาดของอนุภาค	39
3.9 ตัวคูณอัตราการปล่อยอนุภาคมลพิษจากแหล่งกำเนิด	40
3.10 การใช้ความทึบแสงในการประเมินความเป็นมลพิษของอนุภาคมลสาร	42
3.11 ผู้ที่เกิดจากองหิน	44
3.12 emission factor rating	45
3.13 การศึกษาตัวคูณอัตราการปล่อยฝุ่นละอองจากถนน	46
4 วิธีดำเนินการศึกษา	49
4.1 ข้อมูลโรงโม่หินที่ทำการศึกษา	49
4.2 พารามิเตอร์ที่ทำการศึกษา	63
4.3 ตัวแปรในการทดลอง	63
4.4 วิธีการศึกษา	64
4.5 เครื่องมือที่ใช้และการวิเคราะห์ข้อมูลที่ได้จากการเก็บตัวอย่าง	69
4.6 ระยะเวลาในแผนการศึกษาและดำเนินการ	78
5 ผลการศึกษาและวิจารณ์	80
5.1 การหาความสัมพันธ์ระหว่างความเข้มข้นของฝุ่นและความทึบแสง	80
5.1.1 ลักษณะกราฟความสัมพันธ์จากโรงโม่แต่ละโรง	85
5.1.2 ลักษณะกราฟความสัมพันธ์กรณีที่มีการสเปรย์น้ำและไม่สเปรย์น้ำ	85
5.1.3 ลักษณะกราฟความสัมพันธ์ทั้งหมด	91
5.1.4 วิจารณ์ผลการศึกษา	91
5.2 การหาค่าอัตราการปล่อยฝุ่นละอองรวมและตัวคูณ อัตราการปล่อยฝุ่นละอองรวมจากโรงโม่หิน	93
5.2.1 โรงโม่ไศกอุตสาหกรรม	99
5.2.2 โรงโม่ขุมเงินขุมทอง	101
5.2.3 วิจารณ์ผลการศึกษา	103
5.3 การตรวจวัดความชื้นจากหิน	107

สารบัญ (ต่อ)

หน้า

5.4 การตรวจวัดความเข้มข้นของฝุ่นจากแหล่งกำเนิดตาม วิธีของกรมควบคุมมลพิษ (2539)	109
5.5 การศึกษามลพิษจากโรงไหมหินที่มีผลต่อความเข้มข้น ของฝุ่นในบรรยากาศแวดล้อมโรงงาน	113
5.5.1 โรงไหมโซกอุตสาหกรรม	114
5.5.2 โรงไหมชุมชน	119
5.5.3 โรงไหม โรงงานปูนซิเมนต์ไทย	121
5.5.4 วิจารณ์ผลการศึกษาในหัวข้อที่ 5.4 และ 5.5	125
5.6 การกระจายขนาดของฝุ่น	126
5.6.1 วิจารณ์ผลการศึกษา	133
6 สรุปผลการศึกษา	134
7 ข้อเสนอแนะในการวิจัยเพิ่มเติม	138
รายการอ้างอิง	139
ภาคผนวกที่ 1 อัตราการปล่อยฝุ่นละอองรวมจากแหล่งปล่อยฝุ่นต่างๆ ภายในโรงไหมหิน ...	142
ภาคผนวกที่ 2 ตัวอย่างอัตราการปล่อยฝุ่นละอองรวมจาก แหล่งปล่อยฝุ่นต่างๆ ภายในโรงไหมหิน	165
ภาคผนวกที่ 3 ผลการหาการกระจายขนาดด้วย cascade impactor	174
ภาคผนวกที่ 4 ตัวอย่างการคำนวณหาอัตราการปล่อยฝุ่นละอองรวมและ ตัวอย่างอัตราการปล่อยฝุ่นละอองรวม	188
ภาคผนวกที่ 5 ตัวอย่างการคำนวณหาตัวอย่างอัตราการปล่อยฝุ่นละอองรวมจากกองหิน	196
ประวัติผู้เขียน	199

สารบัญตาราง

หน้า

ตารางที่ 3.1	คุณภาพอากาศบริเวณ โรงเรียนหน้าพระลาน ด.หน้าพระลาน จ.สระบุรี ปี พ.ศ. 2539	11
ตารางที่ 3.2	คุณภาพอากาศบริเวณ โรงเรียนหน้าพระลาน ด.หน้าพระลาน จ.สระบุรี เดือนมกราคม - กุมภาพันธ์ พ.ศ. 2540	12
ตารางที่ 3.3	ตัวคูณอัตราการปล่อยฝุ่นจากแหล่งกำเนิดที่จุดต่างๆ ของ กระบวนการผลิตภายใน โรงไม้หีน (US. EPA. , 1995)	25
ตารางที่ 3.4	จุดกำเนิดฝุ่นสำคัญและลักษณะการเกิดฝุ่นในกระบวนการผลิตของ โรง ไม้หีน ...	27
ตารางที่ 3.5	แหล่งปล่อยฝุ่นและการควบคุมฝุ่นของ โรงไม้หีน	32
ตารางที่ 3.6	aerodynamic particle size multiplier (k)	45
ตารางที่ 4.1	โรงไม้และการควบคุมฝุ่นที่ทำการตรวจวัดความทึบแสงตาม วิธีของกรมควบคุมมลพิษ	64
ตารางที่ 4.2	โรงไม้และตำแหน่งที่หาความสัมพันธ์ระหว่าง ความเข้มข้นของฝุ่นและความทึบแสง	65
ตารางที่ 4.3	โรงไม้ การควบคุมฝุ่นและตำแหน่งที่ตรวจวัดผลกระทบของมลพิษที่เกิดจาก โรงไม้หีนที่มีผลต่อความเข้มข้นของฝุ่นในบรรยากาศแวดล้อมโรงงาน	68
ตารางที่ 4.4	ตำแหน่งและ โรง ไม้ที่ทำการตรวจวัดการกระจายขนาด ด้วยเครื่อง cascade impactor	68
ตารางที่ 4.5	ขนาดและจำนวนรูพ่น ความเร็วของกระแสอากาศ ขนาดของอนุภาค ที่ถูกแยกในแต่ละชั้นของเครื่อง cascade impactor	72
ตารางที่ 4.6	ระยะเวลาในการศึกษาและดำเนินการ	79
ตารางที่ 5.1	ผลของการหาความสัมพันธ์ระหว่างความทึบแสง และความเข้มข้นของฝุ่นละอองรวม	80
ตารางที่ 5.2	โรงไม้ ตำแหน่ง การควบคุมฝุ่นและวันที่ทำการหาความสัมพันธ์ ระหว่างความทึบแสงและความเข้มข้นของฝุ่นละอองรวม	82

สารบัญตาราง (ต่อ)

หน้า

ตารางที่ 5.3	อัตราการปล่อยฝุ่นละอองรวม ตัวคูณอัตราการปล่อย ฝุ่นละอองรวมและประสิทธิภาพการควบคุมฝุ่นที่ เครื่องจักรต่างๆ ภายในโรง โม่ อโศกอุตสาหกรรมกิจ	100
ตารางที่ 5.4	อัตราการปล่อยฝุ่นละอองรวม ตัวคูณอัตราการปล่อย ฝุ่นละอองรวมและประสิทธิภาพการควบคุมฝุ่นที่ เครื่องจักรต่างๆ ภายในโรง โม่ ขุมเงิน ขุมทอง	102
ตารางที่ 5.5	การประเมินตัวคูณอัตราการปล่อยฝุ่นละอองรวมและฝุ่นละอองขนาดเล็กกว่า 10 ไมครอนจากเครื่องจักรต่างๆ และประสิทธิภาพของระบบควบคุมฝุ่น	106
ตารางที่ 5.6	ตัวคูณอัตราการปล่อยฝุ่นจากแหล่งกำเนิดต่างๆ และประสิทธิภาพ ของระบบควบคุมฝุ่นของโรง โม่ อโศกอุตสาหกรรมกิจ	106
ตารางที่ 5.7	ความชื้นของหินที่นำมาโม่ในแต่ละวัน	108
ตารางที่ 5.8	ความทึบแสงที่ตรวจวัดได้จากแหล่งปล่อยฝุ่นต่างๆ ในโรง โม่ อโศกอุตสาหกรรมกิจ และประสิทธิภาพของระบบสเปรย์น้ำ	109
ตารางที่ 5.9	ความทึบแสงที่ตรวจวัดได้จากแหล่งปล่อยฝุ่นต่างๆ ในโรง โม่ ขุมเงิน ขุมทอง และประสิทธิภาพของระบบสเปรย์น้ำ	110
ตารางที่ 5.10	ความทึบแสงที่ตรวจวัดได้จากแหล่งปล่อยฝุ่นต่างๆ ในโรง โม่ หิน โรงงานปูน ซิเมนต์ไทย แก่งคอย และประสิทธิภาพของระบบควบคุมฝุ่นแบบสเปรย์น้ำ ระบบดูดและรวบรวมฝุ่นแบบถูกรองร่วมกับระบบสเปรย์น้ำ	111
ตารางที่ 5.11	ความเข้มข้นของฝุ่นในบรรยากาศแวดล้อม โรงงานที่เก็บตัวอย่างด้วย เครื่อง high volume sampler และเครื่อง PM-10 ในทิศทาง เหนือลมและใต้ลม โรง โม่ อโศกอุตสาหกรรมกิจ	117
ตารางที่ 5.12	มลพิษจากโรง โม่ อโศกอุตสาหกรรมกิจที่มีผลต่อความเข้มข้นของฝุ่นละอองใน บรรยากาศแวดล้อม โรงงาน และประสิทธิภาพการควบคุมฝุ่น	118

สารบัญตาราง (ต่อ)

หน้า

ตารางที่ 5.13	ความเข้มข้นของฝุ่นในบรรยากาศแวดล้อมโรงงานที่เก็บตัวอย่างด้วย เครื่อง high volume sampler และเครื่อง PM-10 ในทิศทาง เหนือลมและใต้ลม โรงไม่ขุมเงินขุมทอง	120
ตารางที่ 5.14	มลพิษจากโรงไม่ขุมเงินขุมทองที่มีผลต่อความเข้มข้นของฝุ่นละอองใน บรรยากาศแวดล้อมโรงงาน และประสิทธิภาพในการควบคุมฝุ่น	121
ตารางที่ 5.15	ความเข้มข้นของฝุ่นในบรรยากาศแวดล้อมโรงงานที่ตรวจวัดด้วย เครื่อง high volume sampler และเครื่อง PM-10 ในทิศทางเหนือลม และใต้ลม โรงไม่หิน โรงงานปูนซิเมนต์ไทย แก่งคอย	122
ตารางที่ 5.16	มลพิษจากโรงไม่หิน โรงงานปูนซิเมนต์ไทย แก่งคอย ที่มีผลต่อ ความเข้มข้นของฝุ่นละอองรวมในบรรยากาศแวดล้อมโรงงาน	123
ตารางที่ 5.17	มลพิษจากโรงไม่หิน โรงงานปูนซิเมนต์ไทย แก่งคอย ที่มีผลต่อความเข้มข้น ของฝุ่นละอองขนาดเล็กกว่า 10 ไมครอนในบรรยากาศแวดล้อมโรงงาน	123
ตารางที่ 5.18	ประสิทธิภาพในการควบคุมฝุ่นด้วยระบบดูดและรวบรวมฝุ่นแบบ อุ้งกรอกร่วมกับสเปรย์น้ำและระบบสเปรย์น้ำ โรงไม่หิน โรงงานปูนซิเมนต์ไทย แก่งคอย	123
ตารางที่ 5.19	ร้อยละสะสมของการกระจายขนาดของฝุ่นที่ตรวจวัดด้วย cascade impactor แยกตามโรงไม่	128
ตารางที่ 5.20	ร้อยละสะสมของการกระจายขนาดของฝุ่นที่ตรวจวัดด้วย cascade impactor แยกตามเครื่องจักรต่างๆ	129
ตารางที่ 6.1	ตัวคูณอัตราการปล่อยฝุ่นละอองรวมและอัตราการปล่อยฝุ่นละอองรวม และ ประสิทธิภาพการควบคุมฝุ่นที่เครื่องจักรต่างๆ ภายในโรงไม่โศกอุตสาหกรรมกิจ ...	135
ตารางที่ 6.2	ตัวคูณอัตราการปล่อยฝุ่นละอองรวมและอัตราการปล่อยฝุ่นละอองรวม และ ประสิทธิภาพการควบคุมฝุ่นที่เครื่องจักรต่างๆ ภายในโรงไม่ขุมเงินขุมทอง	136

สารบัญรูป

	หน้า
รูปที่ 3.1	กระบวนการผลิตทั่วๆ ไปในโรงไม่หิน 13
รูปที่ 3.2	แผนภูมิกระบวนการผลิตทั่วๆ ไปในโรงไม่หิน 14
รูปที่ 3.3	แผนผังโรงไม่หินที่นิยมในประเทศไทย 15
รูปที่ 3.4	แผนภูมิการผลิตของโรงไม่หินที่มีกระบวนการผลิตซับซ้อน 16
รูปที่ 3.5	จุดกำเนิดและลักษณะการเกิดฝุ่นภายในโรงไม่หิน 26
รูปที่ 3.6	ภาพจำลองเครื่องเก็บตัวอย่างแบบ cascade impactor 41
รูปที่ 3.7	หลักการทำงานของ opacity meter 42
รูปที่ 3.8	ชุดของ opacity meter ที่ใช้ในการประยุกต์วัดความทึบแสงจากปล่อง 43
รูปที่ 3.9	การจัดวางเครื่องมือเพื่อหาตัวคูณอัตราการปล่อยฝุ่นขนาดเล็กกว่า 10 ไมครอน จากถนนที่ไม่มี การควบคุมฝุ่นและมีการควบคุมฝุ่นด้วยสารเคมีต่างกัน 3 ชนิด 47
รูปที่ 4.1	แผนภูมิการผลิตของโรง ไม่อ โศกอุตสาหกรรม 51
รูปที่ 4.2	แผนภูมิการผลิตของโรง ไม่ขุมเงินขุมทอง 52
รูปที่ 4.3	แผนภูมิการผลิตและระบบควบคุมฝุ่นของโรงไม่หิน ปูนซิเมนต์ไทย แก่งคอย 53
รูปที่ 4.4	แผนภูมิการผลิตของโรงไม่หินไทยสระบุรี 55
รูปที่ 4.5	แผนภูมิการผลิตของโรงไม่ศิลาแลง (โรงไม่ 3) 56
รูปที่ 4.6	เครื่องจักรต่างๆ ภายในโรงไม่อ โศกอุตสาหกรรม (โรง ไม่ที่ 1) 57
รูปที่ 4.7	แผนผัง รายละเอียดของเครื่องจักรและจุดตั้ง เครื่องเก็บตัวอย่างชนิดปริมาตรสูง โรงไม่ขุมเงินขุมทอง 58
รูปที่ 4.8	เครื่องจักรต่างๆ ภายในโรงไม่ขุมเงินขุมทอง 59
รูปที่ 4.9	แผนผังบริเวณโรงไม่อ โศกอุตสาหกรรม และจุดตั้งเครื่องเก็บตัวอย่างชนิดปริมาตรสูง . 60
รูปที่ 4.10	แผนผัง รายละเอียดของเครื่องจักร และจุดตั้งเครื่องเก็บตัวอย่าง ชนิดปริมาตรสูง โรงไม่หิน โรงงานปูนซิเมนต์ไทย แก่งคอย 61
รูปที่ 4.11	อาคารที่สร้างปิดครอบปากไม่ใหญ่ โรงไม่ขุมเงินขุมทอง มีช่องเปิดใหญ่สำหรับเทหินจากรถบรรทุก 62

สารบัญรูป (ต่อ)

หน้า

รูปที่ 4.12	อาคารที่สร้างปิดครอบเครื่องไม่ชั้นที่สองและชุดตะแกรง โรงไม่ขุมเงินขุมทอง มีจุดถ่ายไออนสายพานหิน over size อยู่ด้านซ้ายของภาพ	62
รูปที่ 4.13	เครื่องเก็บตัวอย่างชนิดปริมาตรสูง และอุปกรณ์ต่างๆ ภายใน	70
รูปที่ 4.14	เครื่องเก็บตัวอย่างชนิดปริมาตรสูงที่เก็บตัวอย่างฝุ่นขนาดเล็กกว่า 10 ไมครอน	71
รูปที่ 4.15	โครงสร้างของเครื่องเก็บตัวอย่าง cascade impactor ของ Andersen	73
รูปที่ 4.16	ชุดเก็บตัวอย่าง cascade impactor ของ Andersen	74
รูปที่ 4.17	กราฟแสดงประสิทธิภาพในการแยกขนาดของอนุภาคต่างๆ ในชั้นต่างๆ ของ cascade impactor ของ Andersen	74
รูปที่ 4.16	smoke opacity meter ที่ใช้ในการศึกษา	77
รูปที่ 5.1	การตั้งเครื่องเก็บตัวอย่างปริมาตรสูง และ smoke opacity meter ที่ ด้านหลังตะแกรงชั้นที่สอง เพื่อหาความสัมพันธ์ระหว่าง ความทึบแสงและความเข้มข้นของฝุ่นละอองรวม	84
รูปที่ 5.2	การจกบันทึกความทึบแสงขณะหาความสัมพันธ์ระหว่าง ความทึบแสงและความเข้มข้นฝุ่นละอองรวม	84
รูปที่ 5.3	กราฟความสัมพันธ์ระหว่างความทึบแสงและความเข้มข้นของฝุ่นละอองรวม โรงไม่ขุมเงินขุมทอง	86
รูปที่ 5.4	กราฟความสัมพันธ์ระหว่างความทึบแสงและความเข้มข้นของฝุ่นละอองรวม โรงไม่ไศกอุตสาหกรรม โรงที่ 1	87
รูปที่ 5.5	กราฟความสัมพันธ์ระหว่างความทึบแสงและความเข้มข้นของฝุ่นละอองรวม โรงไม่ไศกอุตสาหกรรม โรงที่ 3	88
รูปที่ 5.6	กราฟความสัมพันธ์ระหว่างความทึบแสงและความเข้มข้นของฝุ่นละอองรวม จากโรงไม่ทั้งสาม กรณีที่ไม่สเปรย์น้ำ	89
รูปที่ 5.7	กราฟความสัมพันธ์ระหว่างความทึบแสงและความเข้มข้นของฝุ่นละอองรวม จากโรงไม่ทั้งสาม กรณีที่สเปรย์น้ำ	90

สารบัญรูป (ต่อ)

หน้า

รูปที่ 5.8	กราฟความสัมพันธ์ระหว่างความทึบแสงและความเข้มข้นของฝุ่นละอองรวม ของโรงไม้ทั้งสามโรงที่ศึกษา	92
รูปที่ 5.9	สัดส่วนกำลังการผลิตตามสายการผลิตต่างๆ ของโรงไม้โอศกอุตสาหกรรม	95
รูปที่ 5.10	การตรวจวัดความทึบแสงเฉลี่ยบริเวณช่องทางออกของหิน ได้ปากไม้ใหญ่ โรงไม้โอศกอุตสาหกรรม	97
รูปที่ 5.11	การตรวจวัดฝุ่นเพื่อหาความทึบแสงเฉลี่ยบริเวณรางลำเลียงหิน โรงไม้ชุมชนชุมทอง ที่จุดถ่ายโอนของหิน และเป็นช่องเปิดให้ฝุ่นภายในอาคารฟุ้งกระจายออกมา	97
รูปที่ 5.12	การตรวจวัดฝุ่นเพื่อหาความทึบแสงเฉลี่ยบริเวณช่องเปิดสายพานหินฝุ่น โรงไม้ชุมชนชุมทอง ขณะที่มีการสเปรย์น้ำ	98
รูปที่ 5.13	เครื่องวัดลมชนิดกักกันที่ใช้วัดความเร็วลมที่แหล่งปล่อยฝุ่น เพื่อหาตัวคูณอัตราการปล่อยฝุ่นละอองรวม	98
รูปที่ 5.14	การตรวจวัดความทึบแสงที่มัดเครื่อง ไม้โค่น ขณะไม่ได้ทำการควบคุมฝุ่น โรงไม้หิน โรงงานปูนซิเมนต์ไทย แก่งคอย	112
รูปที่ 5.15	การตรวจวัดความทึบแสงจากจุดถ่ายโอนสายพานหินที่มาจากเครื่อง ไม้โค่น โคนลงยังสายพานที่นำหินไปตะแกรง ขณะที่ไม่ได้ทำการควบคุมฝุ่น โรงงานปูนซิเมนต์ไทย	112
รูปที่ 5.16	ฝุ่นที่ฟุ้งกระจายออกมาจากโรงไม้โอศกอุตสาหกรรมในทิศทางใต้ลม ขณะที่ไม่ได้ทำการสเปรย์น้ำ	114
รูปที่ 5.17	ทัศนวิสัยบริเวณโรงไม้หิน โรงงานปูนซิเมนต์ไทย ขณะที่ไม่ได้ทำการควบคุมฝุ่น	115
รูปที่ 5.18	ทัศนวิสัยบริเวณโรงไม้หิน โรงงานปูนซิเมนต์ไทย ขณะที่ควบคุมฝุ่นด้วยสเปรย์น้ำ	115
รูปที่ 5.19	เครื่องเก็บตัวอย่างชนิดปริมาตรสูง และเครื่อง PM – 10 ที่ตั้งเก็บตัวอย่างในทิศทางเหนือลม โรงไม้หิน โรงงานปูนซิเมนต์ไทย ขณะกำลังเปลี่ยนกระดานกรอง	116

สารบัญรูป (ต่อ)

	หน้า
รูปที่ 5.20 การเก็บตัวอย่างด้วย cascade impactor บริเวณเหนือปากไม่ใหญ่ โรงโมศิตาเลิศจิต	127
รูปที่ 5.21 ร้อยละสะสมของอนุภาคที่มีขนาดเล็กกว่าที่เครื่องจักรต่างๆ โรงโม่อุศกอุตสาหกรรมกิจ	130
รูปที่ 5.22 ร้อยละสะสมของอนุภาคที่มีขนาดเล็กกว่าที่เครื่องจักรต่างๆ โรงโม่อินไทยสระบุรี	130
รูปที่ 5.23 ร้อยละสะสมของอนุภาคที่มีขนาดเล็กกว่าที่เครื่องจักรต่างๆ โรงโมศิตาเลิศจิต	131
รูปที่ 5.24 ร้อยละสะสมของอนุภาคที่มีขนาดเล็กกว่าเฉลี่ย ที่เครื่องจักรต่างๆ ของโรงโม่อทั้งสามโรง	132